

第六周

第16章 物质中的磁场 § 16. 2,
§ 16. 3 (一般了解), § 16. 4 (一般了解)

第17章 电磁感应
§ 17. 1, § 17. 2, § 17. 3

作业: P301 16-2, 16-4 *
* P324 17-1, 17-2, 17-6, 17-7

§ 13-3 存在磁介质时磁场的基本规律

一、磁场强度 有磁介质时的安培环路定理

当传导电流的磁场中存在介质时，介质内磁场应为传导电流和磁化电流所产生磁场的矢量和

$$\vec{B} = \vec{B}_0 + \vec{B}'$$

介质中的环路定律：

$$\oint_L \vec{B} \cdot d\vec{l} = \mu_0 (\sum I_0 + \sum I_m)$$

利用磁化电流与磁化强度之间的关系，可得：

$$\oint_L \vec{B} \cdot d\vec{l} = \mu_0 (\sum I_0 + \oint_L \vec{M} \cdot d\vec{l})$$

$$\oint_L (\frac{\vec{B}}{\mu_0} - \vec{M}) \cdot d\vec{l} = \sum I_0$$

引入物理量—磁场强度 (magnetic density) ***H***：

$$\vec{H} = \frac{\vec{B}}{\mu_0} - \vec{M}$$

H 的单位为：安培/米 (**A/m**)

$$\oint_L \vec{H} \cdot d\vec{l} = \sum I_0$$

上式称为有介质时的安培环路定理。

磁场强度 \vec{H} 沿任意闭合路径 L 的环流，等于穿过该路径所包围的传导电流的代数和。

二、存在磁介质时的磁场高斯定理

存在介质时的磁场由传导电流和磁化电流共同激发，所产生的磁场为闭合曲线，故：

$$\oint_S \vec{B} \cdot d\vec{s} = \oint_S (\vec{B}_0 + \vec{B}') \cdot d\vec{s} = 0$$

三、 B 、 M 、 H 之间的关系

由 H 的定义式：
$$\vec{B} = \mu_0 \vec{H} + \mu_0 \vec{M}$$

对各向同性的磁介质， M 与 H 成正比：

$$\vec{M} = \chi_m \vec{H}$$

χ_m 称为磁化率 (magnetic susceptibility)，为无量纲量。

$\chi_m > 0$ 顺磁质， $\chi_m < 0$ 抗磁质，对铁磁质 χ_m 很大，且不是恒量。

由于: $\vec{B} = \mu_0 \vec{H} + \mu_0 \vec{M} = \mu_0 (1 + \chi_m) \vec{H}$

令: $\mu_r = 1 + \chi_m$ —相对磁导率

$$\vec{B} = \mu_0 \mu_r \vec{H} = \mu \vec{H}$$

μ —磁导率

对真空: $\vec{M} = 0$ $\chi_m = 0$ $\mu_r = 1$ $\mu = \mu_0$

$$\vec{B} = \mu_0 \vec{H} \longrightarrow \vec{H} = \frac{\vec{B}}{\mu_0}$$

μ, μ_r, χ_m 三者得一可知其余两个。

§ 13-4 铁磁质 *

用途：电机、磁记录等。

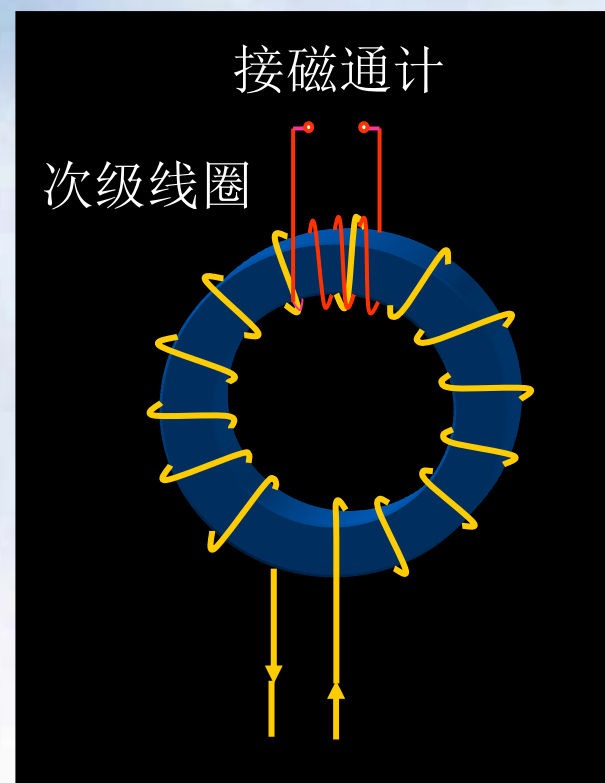
特性：

- ① $B' \gg B_0$, $\mu_r = B/B_0$ 可达 $10^2 \sim 10^3$ 。
- ② μ_r (χ_m) 不是常量
- ③ 外场停止作用后，仍能保留部分磁性。
- ④ 存在居里点 T_c 。 $T > T_c$ 时铁磁质转化为顺磁质（铁 1040K、镍631K、钴1388K）。

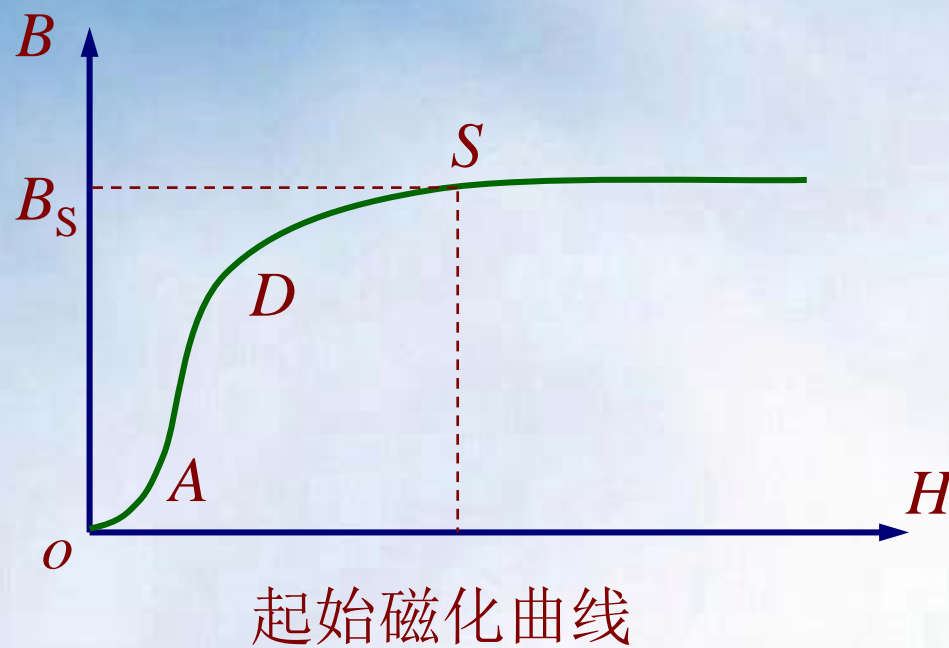
一、铁磁质的磁化规律

实验装置如图所示：

铁芯中磁场强度为：
 $H=nI$ ，在磁通计中
可测磁感应强度 B ，
由此可得磁场强度
与磁感应强度的关
系曲线：

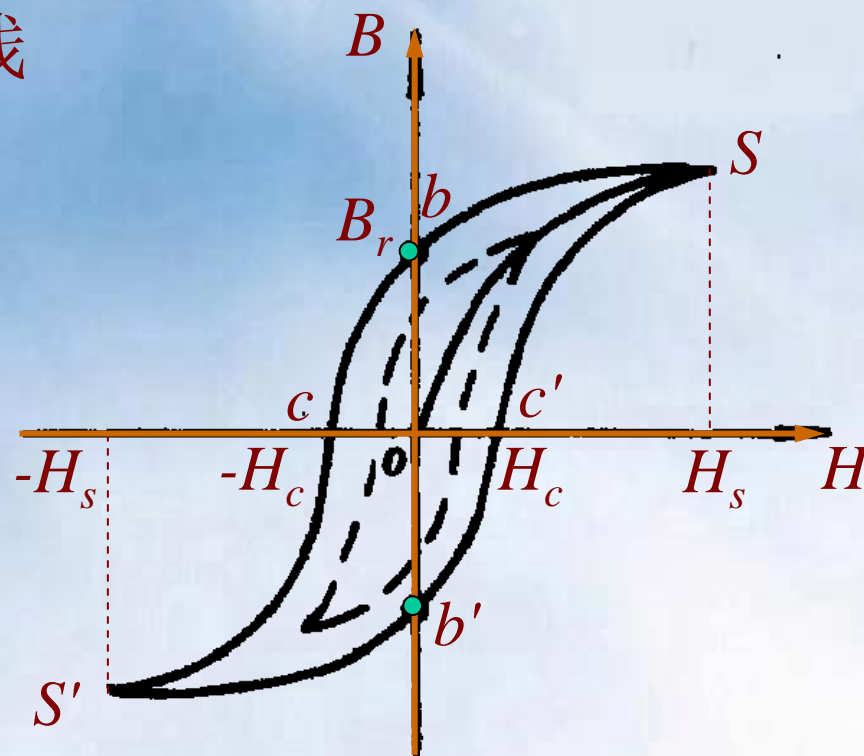


1. 起始磁化曲线



B_S 称为饱和磁感应强度。

2. 磁滞回线



铁磁质的磁滞回线

B_r —剩磁、 H_c —矫顽力。磁滞损耗—磁化过程中，会发热消耗能量，与磁滞回线所包围的面积成正比。

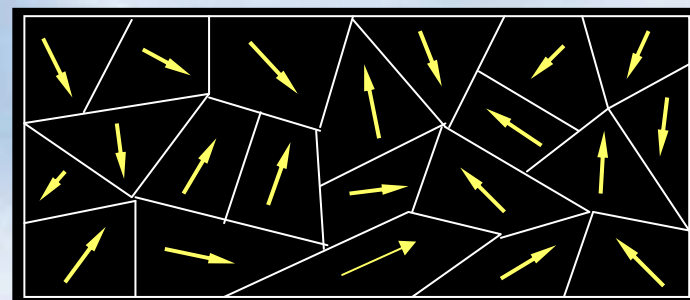
二、铁磁质的微观结构

近代物理理论认为铁磁质的磁性主要来源于电子自旋磁矩。相邻原子中的电子自旋磁矩通过

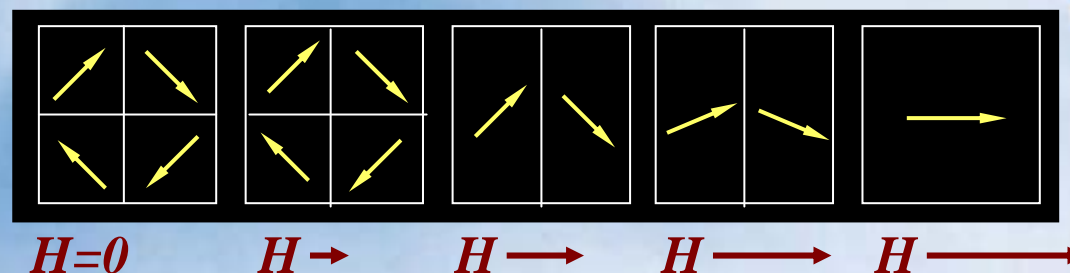
交换偶合作用而平行排列，形成一个自发磁化达饱和状态的微小区域——磁畴。

在无外场时，每个磁畴内的磁矩取同向，但各磁畴排列杂乱，宏观不显磁性。

在外场作用下，磁畴转向，表现为磁化过程。

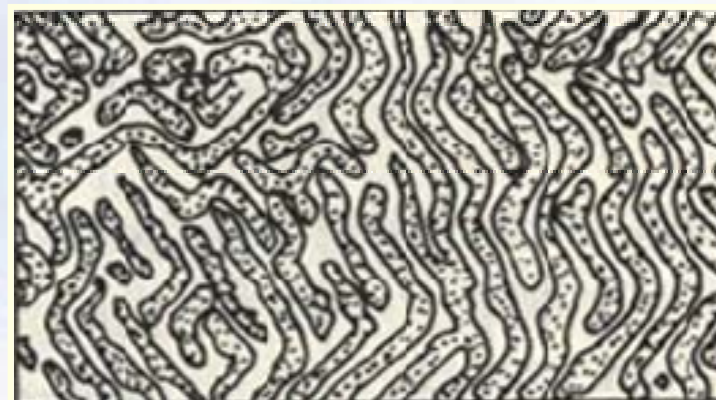


磁 畴



磁化过程中磁畴结构变化示意图

在外场停止作用，由于摩擦阻力，出现剩磁。温度升高，磁畴被破坏，表现为居里点。磁畴的体积为： $10^{-8} \sim 10^{-12} \text{m}^3$ ，约 $10^{17} \sim 10^{21}$ 个原子。



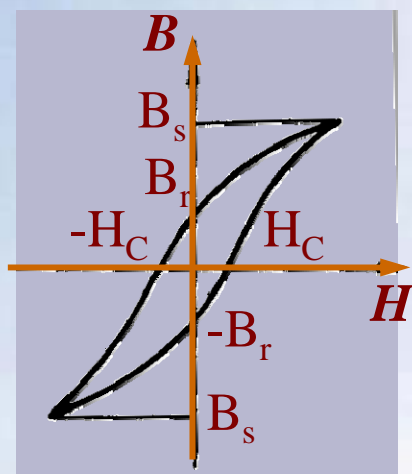
磁畴结构的铁粉图形

三、铁磁质的分类和应用

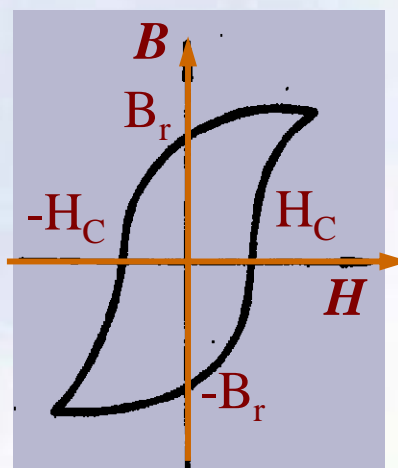
软磁材料： $H_C < 10^2$ A/m 磁滞损耗小，用于产生交变磁场。

硬磁材料： $H_C > 10^2$ A/m，剩磁大，不易消除，用于制成永久磁铁。

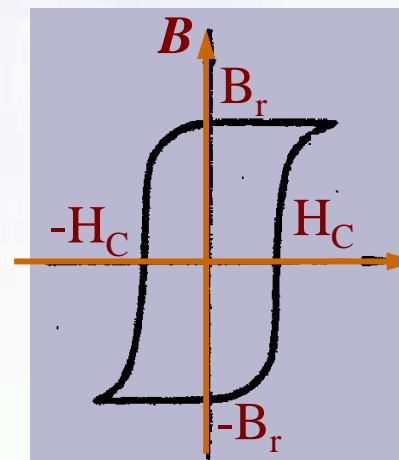
矩形材料： B_r 接近饱和值 B_s ，用于信息储存。



软磁材料



硬磁材料



矩形材料

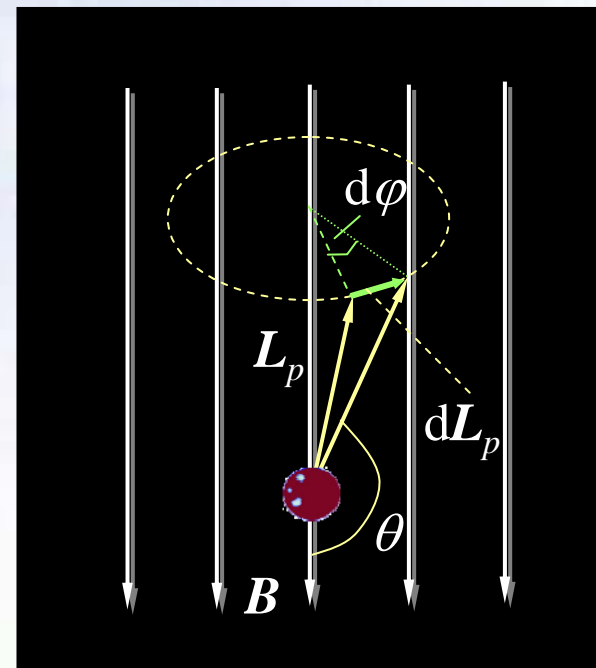
例题1： *

试求磁矩为 $p_m = 1.4 \times 10^{-26} \text{A} \cdot \text{m}^2$ ，自旋角动量为 $L_p = 0.53 \times 10^{-34} \text{kgm}^2/\text{s}$ 的质子，在磁感应强度 $B = 0.50 \text{T}$ 的均匀磁场中的进动角速度。

解： 质子带正电，它的自旋磁矩 p_m 与自旋角动量 L_p 的方向相同，质子在磁场 B 中所受的磁力矩为：

$$M_p = \left| \vec{p}_m \times \vec{B} \right| = p_m B \sin \theta$$

质子以磁场为轴线做进动，在 dt 时间内转过角度 $d\phi$ ，角动量的增量为 dL_p ，由图可知：



$$dL_p = L_p \sin(\pi - \theta) d\varphi = L_p \sin \theta d\varphi$$

又因角动量的时间变化率等于力矩

$$M_p = dL_p / dt \quad dL_p = M_p dt$$

所以
$$L_p \sin \theta d\varphi = p_m B \sin \theta dt$$

从而可求得质子在磁场中进动角速度

$$\omega_p = \frac{d\varphi}{dt} = \frac{p_m B \sin \theta}{L_p \sin \theta} = \frac{p_m B}{L_p} = 1.32 \times 10^8 \text{ rad/s}$$

质子进动的角速度与磁场的夹角无关，说明进动方向和磁场方向总是相反。

例题2:

有一无限长圆柱形载流导体，其相对磁导率为 μ_r ，半径为 R ，今有电流 I 沿轴线方向均匀分布，试求：

- (1) 导体内任一点的 \mathbf{B} ；
- (2) 导体外任一点的 \mathbf{B} ；
- (3) 通过长为 L 的圆柱体的纵截面的一半的磁通量。

解：（1）过距轴线 r 的任一点 P 做环路积分，见图。积分圆周与磁场线重合，沿圆周 H 为常量，故

$$\oint \vec{H} \cdot d\vec{l} = 2\pi r H (r < R)$$

根据有介质的安培环路定理：

$$\oint_L \vec{H} \cdot d\vec{l} = \sum_{(L\text{内})} I$$

因电流均匀分布，所以电流密度为：

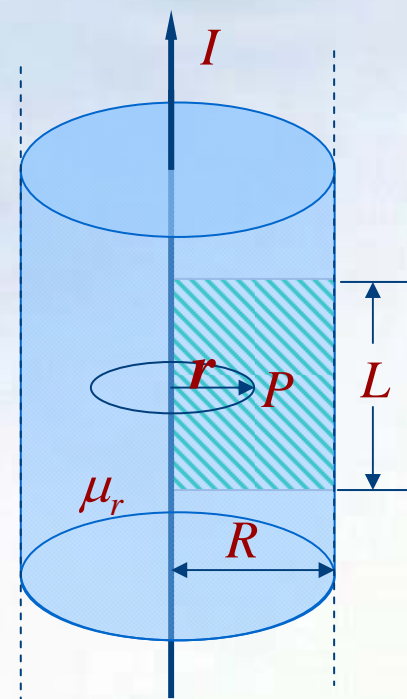
$$j = \frac{I}{\pi R^2}$$

半径为 r 的截面中

$$\sum_{(L\text{内})} I_i = \pi r^2 j = \left(\frac{r}{R}\right)^2 I$$

所以

$$2\pi rH = \left(\frac{r}{R}\right)^2 I, \quad H = \frac{Ir}{2\pi R^2}$$



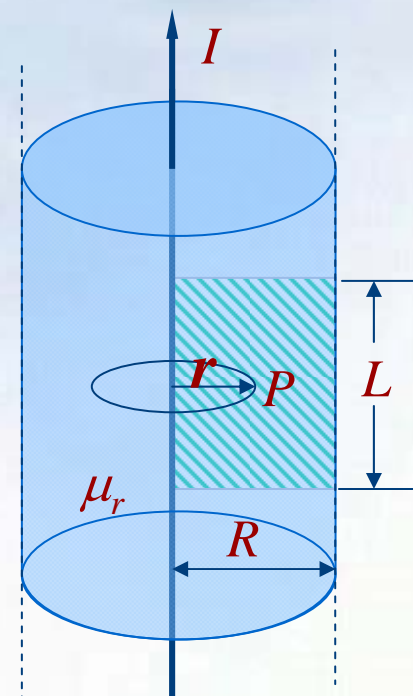
则: $B = \mu_0 \mu_r H = \frac{\mu_0 \mu_r I r}{2\pi R^2} (r < R)$

(2) 在导线外P点:

$$\oint_L \vec{H} \cdot d\vec{l} = 2\pi r H = \sum_{(L\text{内})} I_i (r > R)$$

因 $r > R$, $\sum_{(L\text{内})} I_i = I$

$$H = \frac{I}{2\pi r}, \quad B = \mu_0 H = \frac{\mu_0 I}{2\pi r}$$



(3) 如图所示, 通过长为L的圆柱体纵截面的一半的磁通量为:

$$\begin{aligned}\Phi &= \int_s \vec{B} \cdot d\vec{S} = \int_0^R BL dr = \frac{\mu_0 \mu_r IL}{2\pi R^2} \int_0^R r dr \\ &= \frac{\mu_0 \mu_r IL}{4\pi}\end{aligned}$$

例题3：*

一铁环外均匀绕有绝缘导线，导线中通有恒定电流 I 。若在环上开一条狭缝，试求：(1) 开狭缝前后，铁环中的 B ， H 和 M 如何变化；(2) 铁环与缝隙中的 B ， H 和 M 。

解：由磁高斯定理可知，磁场中磁感应强度 B 总是连续的，而磁场强度 H 线却不一定连续； H 的环流是由回路中的传导电流决定的，而 B 的环流是由回路中的传导电流和磁化电流（也称束缚电流）共同决定的。

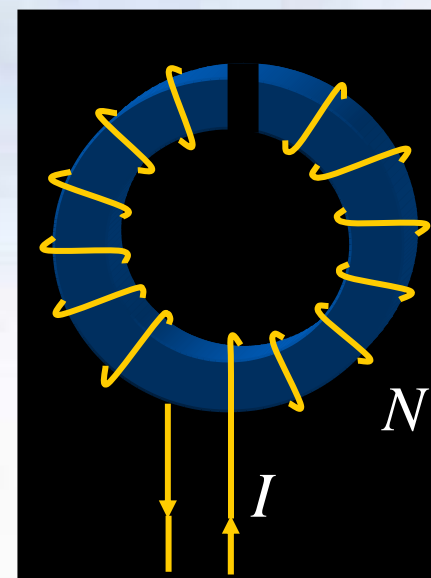
(1) 由上述分析可知，开狭缝前环内各点的 H 值相同， $B=\mu H$ 值也相同。因此由含介质的安培环路定理

$$\oint_L \vec{H} \cdot d\vec{l} = NI$$

得： $Hl=NI$ （ l 为铁环平均周长），即

$$H = \frac{NI}{l}, \quad B = \mu_0 \mu_r H = \frac{\mu_0 \mu_r NI}{l}$$

$$M = \chi_m H = \chi_m \frac{NI}{l}$$



开狭缝后，磁场线仍然连续，由于狭缝极窄，所以可认为铁环中与缝隙中的 B 值相等，而 H 值不再相等。由

$$\oint_L \vec{H} \cdot d\vec{l} = NI$$

得： $H_{\text{环}}(l - \Delta l) + H_{\text{缝}}\Delta l = NI$ （ Δl 为狭缝宽度）

考虑到 $\Delta l \ll l$ ，近似得 $H_{\text{环}}l + H_{\text{缝}}\Delta l = NI$

则上式可写为 $\frac{B}{\mu_0\mu_r}l + \frac{B}{\mu_0}\Delta l = NI$

即得： $B = \frac{\mu_0\mu_r NI}{l + \mu_r\Delta l}$

虽然 Δl 很小，但对于铁环来说，一般 μ_r 较大，所以开狭缝后，铁环中的 B 值比开狭缝前有所减小。同时可知

$$H_{\text{环}} = \frac{B}{\mu_0 \mu_r} = \frac{NI}{l + \mu_r \Delta l}$$

$$M_{\text{环}} = \chi_m H_{\text{环}} = \chi_m \frac{NI}{l + \mu_r \Delta l}$$

不难看出， H 、 M 值都比开狭缝前减小。

(2) 由上述分析可知，开缝后，铁环中与缝隙中的 B 值相等，磁场线是连续的，而由 $H=B/\mu_0 \mu_r$ 和 $M=\chi_m H$ 得：

$$B_{\text{环}} = B_{\text{缝}} = \frac{\mu_0 \mu_r NI}{l + \mu_r \Delta l}$$

$$H_{\text{环}} = \frac{B}{\mu_0 \mu_r} = \frac{NI}{l + \mu_r \Delta l} \quad H_{\text{缝}} = \frac{B}{\mu_0} = \frac{\mu_r NI}{l + \mu_r \Delta l}$$

$$M_{\text{环}} = \chi_m H_{\text{环}} = \chi_m \frac{NI}{l + \mu_r \Delta l} \quad M_{\text{缝}} = 0$$

注释：结果表明，开狭缝前后， B ， H ， M 均发生变化。由于 B 线总是连续的，且狭缝很窄，则认为 B 线仍然被束缚在环中和缝隙中，但 B 值在开狭缝后有所减小。而 H 不连续，狭缝中的 H 值大于铁环中的 H 值。

磁介质与电介质的对比

项目	电介质	磁介质
描述极化或磁化状态量	极化强度 $\mathbf{P} = \frac{\sum \mathbf{p}_{\text{分子}}}{\Delta V}$	磁化强度 $\mathbf{M} = \frac{\sum \mathbf{p}_{m\text{分子}}}{\Delta V}$
极化或磁化的宏观效果	介质表面出现束缚电荷 σ'	介质表面出现束缚电流 \mathbf{i}_s
基本矢量	\mathbf{E}	\mathbf{B}
介质对场的影响	束缚电荷产生附加场 \mathbf{E}'	束缚电流产生附加场 \mathbf{B}'
	$\mathbf{E} = \mathbf{E}_0 + \mathbf{E}'$	$\mathbf{B} = \mathbf{B}_0 + \mathbf{B}'$

辅助矢量	$\mathbf{D} = \epsilon_0 \mathbf{E} + \mathbf{P}$	$\mathbf{H} = \mathbf{B} / \mu_0 - \mathbf{M}$
高斯定理	$\oint_S \vec{D} \cdot d\vec{S} = \sum_{(S)} q_0$ (自由电荷)	$\oint_S \vec{B} \cdot d\vec{S} = 0$
环流定理	$\oint_L \vec{E} \cdot d\vec{l} = 0$	$\oint_L \vec{H} \cdot d\vec{l} = \sum I_0$ 传导电流
各向同性介质	$\vec{P} = \epsilon_0 \chi_e \vec{E}$ $\sigma' = \vec{P} \cdot \vec{n}$ $\vec{D} = \epsilon_0 \epsilon_r \vec{E}$	$\vec{M} = \chi_m \vec{H}$ $\vec{j}_m = \vec{M} \times \vec{n}$ $\vec{H} = \vec{B} / \mu_0 \mu_r$

<p>常量</p>	<p> $\epsilon_0=8.85\times 10^{-12}$ 相对介电常量ϵ_r 极化率χ_e 介电常量$\epsilon=\epsilon_0 \epsilon_r$ $\epsilon_r=1+ \chi_e$ </p>	<p> $\mu_0=1.26\times 10^{-6}$ 相对磁导率μ_r 磁化率χ_m 磁导率$\mu= \mu_0 \mu_r$ $\mu_r=1+ \chi_m$ </p>
-----------	---	---

第十四章 电磁感应

§ 14-1 电磁感应的基本定律

自奥斯特发现电流的磁效应后，许多物理学家致力于其逆效应的研究。1831年，英国物理学家**法拉第**经过十年研究，终于发现了电磁感应现象。

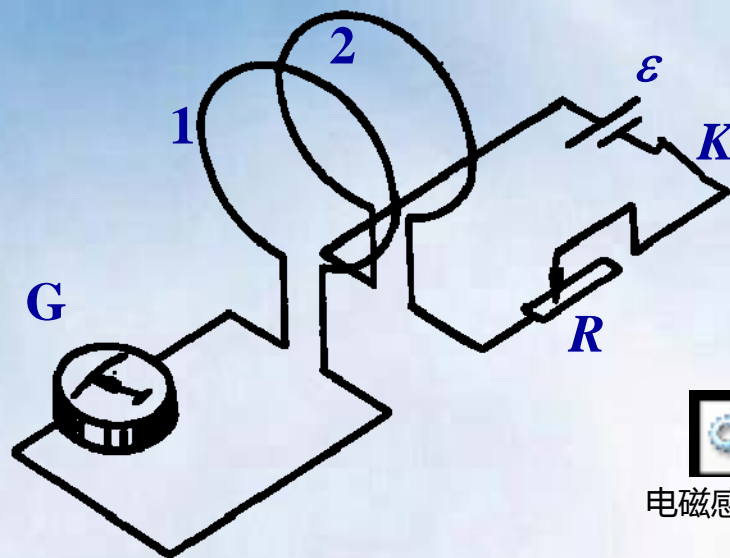
一、法拉第实验



Faraday, Michael
1791-1867

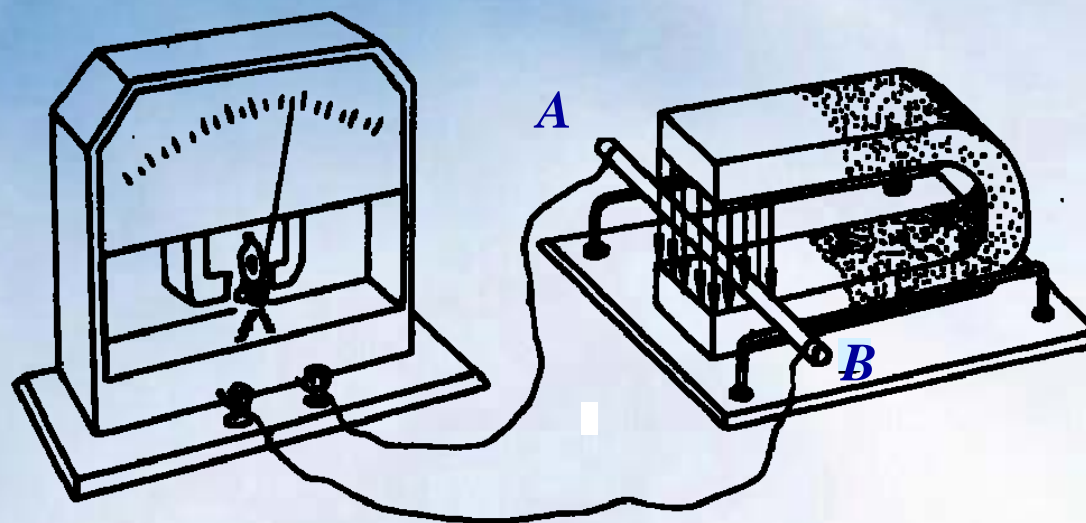


磁铁棒与线圈有相对运动时的
电磁感应现象



电磁感应演.

线圈中电流改变时的电磁
感应现象



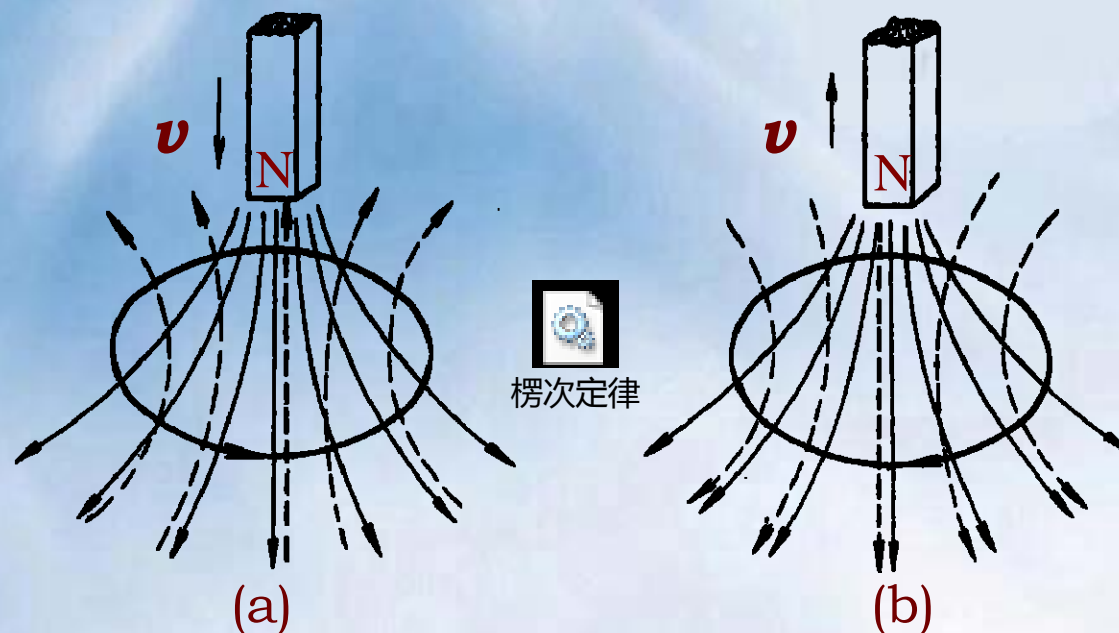
电磁感应演.

金属棒在磁场中运动时的电磁
感应现象

电磁感应实验现象：当穿过一个闭合导体回路内的磁通量发生变化时，不管这种变化是有什么原因引起的，闭合回路中都将产生感应电流。

二、楞次定律

1833年，楞次(Lenz)得出确定感应电流方向的法则，称为楞次定律：闭合回路中产生感应电流的方向，总是使它所激发的磁场去阻止原磁通量的变化。



感应电流的方向判断

楞次定律是能量守恒定律的体现。当磁铁棒接近线圈时，线圈中所激发的感应电流产生斥力将阻止铁棒运动，此时外力必须克服此斥力做功。外力所做的功，部分转化为电能。

三、法拉第电磁感应定律

法拉第从实验总结出：通过回路所包围面积的磁通量发生变化时，回路中将产生感应电动势 ε_i ，它正比于磁通量与时间的变化率。

$$\varepsilon_i = -k \frac{d\Phi}{dt}$$

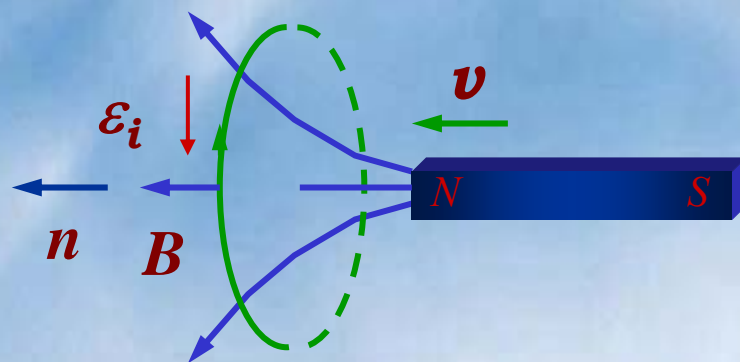
k 为比例系数，在国际单位制中 $k = 1$

$$\varepsilon_i = -\frac{d\Phi}{dt} = -\frac{d}{dt} \int_S \vec{B} \cdot d\vec{S}$$

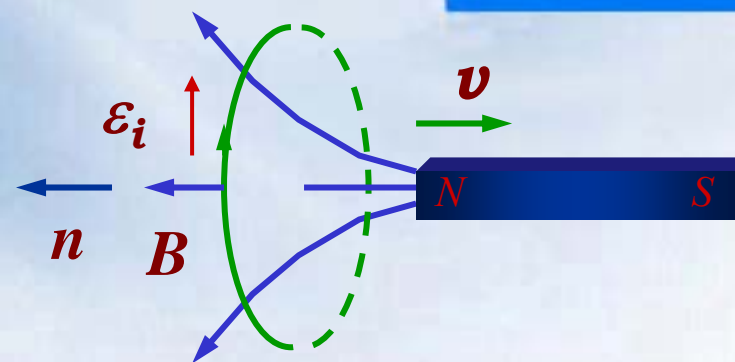
式中负号反映了感应电动势的方向，是楞次定律的数学形式。

确定 ε_i 的符号规则：

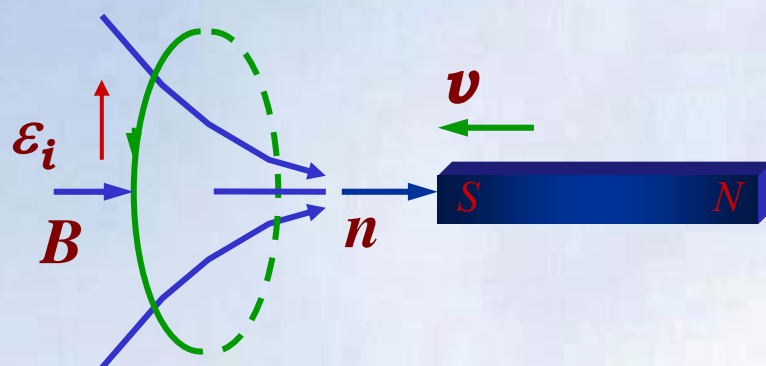
1. 选定一绕行方向为正，用右手法则确定 \mathbf{n} 方向；
2. 依照 \mathbf{n} 方向来确定 Φ 的正负；
3. Φ 的正负确定后，再确定 $d\Phi/dt$ 正负；
4. ε_i 的正负和大小由 $-d\Phi/dt$ 决定。



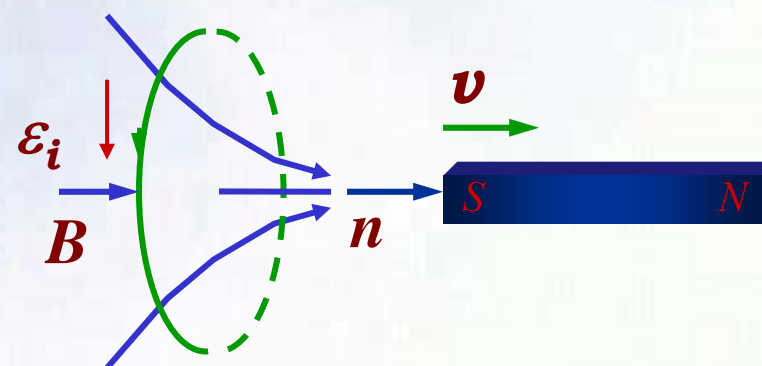
(a) $\Phi(t)$ 为正, $d\Phi/dt > 0$, $\varepsilon_i < 0$



(b) $\Phi(t)$ 为正, $d\Phi/dt < 0$, $\varepsilon_i > 0$



(c) $\Phi(t)$ 为正, $d\Phi/dt > 0$, $\varepsilon_i < 0$



(d) $\Phi(t)$ 为正, $d\Phi/dt < 0$, $\varepsilon_i > 0$

对于N匝线圈，总感应电动势：

通过各匝线圈的磁通量不等：

$$\varepsilon_i = -\left(\frac{d\Phi_1}{dt} + \frac{d\Phi_2}{dt} + \cdots + \frac{d\Phi_N}{dt}\right) = -\frac{d}{dt}\left(\sum_{i=1}^N \Phi_i\right) = -\frac{d\Psi}{dt}$$

通过各匝线圈的磁通量相等：

$$\varepsilon_i = -N \frac{d\Phi}{dt} = -\frac{d(N\Phi)}{dt} = -\frac{d\Psi}{dt}$$

$\Psi = \sum_{i=1}^N \Phi_i$ 称为线圈的**全磁通**，磁通量相

等时， $\Psi = N\Phi$ 称为线圈的**磁通匝链数**。

回路中的感应电流：

$$I_i = \frac{\varepsilon_i}{R} = -\frac{N}{R} \frac{d\Phi}{dt}$$

由于 $I=dq/dt$ ，则：

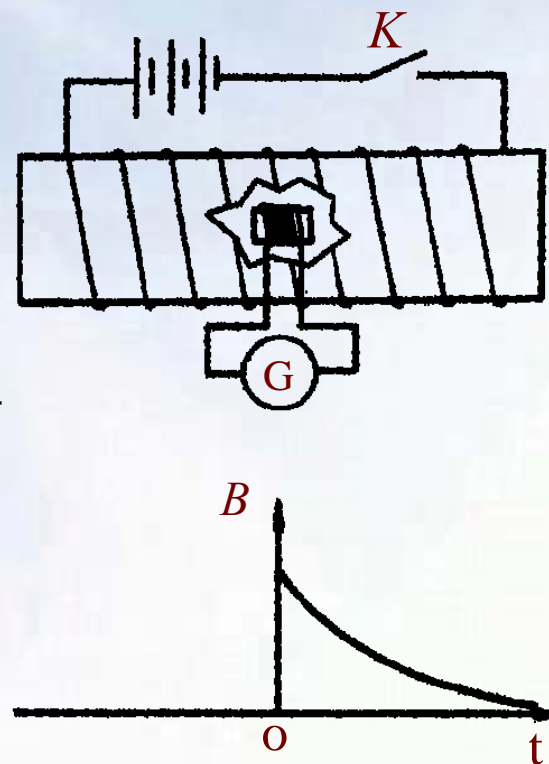
$$q = \int_{t_1}^{t_2} I_i dt = -\frac{N}{R} \int_{\Phi_1}^{\Phi_2} d\Phi = \frac{N}{R} (\Phi_1 - \Phi_2)$$

流过闭合回路的感生电荷与磁通量变化的快慢无关。

例题1:

有一长直螺线管，在管的中部放置一个与它同轴、面积 $S=6\text{cm}^2$ 、共绕有 $N=10$ 匝、总电阻 $R=2\ \Omega$ 的小线圈。开始时螺线管内的恒定磁场为 $B_0=0.05\text{T}$ ，切断电源后磁场按指数规律 $B=B_0e^{-t/\tau}$ 下降到零，式中 $\tau=0.01\text{s}$ 。求在小线圈内产生的最大感应电动势

ε_{\max} 及通过小线圈截面的感生电荷量 q 。



解：通过单匝小线圈的磁通量为：

$$\Phi = \vec{B} \cdot \vec{S} = B_0 S e^{-t/\tau}$$

因此，在小线圈中产生的总磁感应电动势为：

$$\varepsilon_i = \left| N \frac{d\Phi}{dt} \right| = \frac{NB_0 S}{\tau} e^{-t/\tau}$$

小线圈内的磁通按指数变化，因而感应电动势也按指数变化，在 $t=0$ 时，电动势最大：

$$\varepsilon_{\max} = \frac{NB_0 S}{\tau} = 0.03V$$

在 $t = 0 \sim \infty$ ，通过小线圈的感生电荷量为

$$\begin{aligned} q &= \int_0^\infty \frac{\varepsilon_i}{R} dt = \frac{N}{R} \int \left| \frac{d\Phi}{dt} \right| dt = \frac{N}{R} \int_{\Phi_0}^0 |d\Phi| = \frac{N}{R} \Phi_0 = \\ &= \frac{N}{R} B_0 S = 1.5 \times 10^{-4} \text{ C} \end{aligned}$$

例题2:

一长直导线中通有交变电流 $I = I_0 \sin \omega t$ ，式中 I 表示瞬时电流， I_0 是电流振幅， ω 是角频率， I_0 和 ω 都是常量。在长直导线旁平行放置一矩形线圈，线圈平面与直导线在同一平面内，线圈形状参数如图，求任一瞬时线圈中的感应电动势。

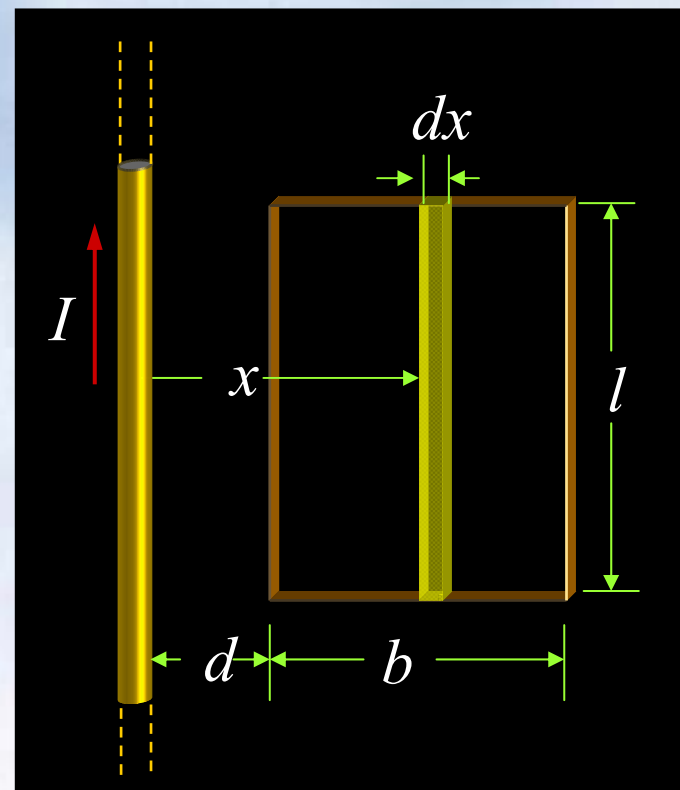
解：在某一瞬时，距直导线为 x 处的磁感应强度为：

$$B = \frac{\mu_0}{2\pi} \frac{I}{x}$$

选顺时针方向作为矩形线圈绕行的正向，则通过图中阴影面积 $dS=ldx$ 的磁通量为：

$$d\Phi = B \cos 0^\circ dS = \frac{\mu_0}{2\pi} \frac{I}{x} l dx$$

在该瞬时 t ，通过整个线圈的磁通量为：



$$\Phi = \int d\Phi = \int_d^{d+b} \frac{\mu_0}{2\pi} \frac{I}{x} l dx = \frac{\mu_0 l I_0 \sin \omega t}{2\pi} \ln\left(\frac{d+b}{d}\right)$$

由于电流随时间变化，磁通量也随时间变化，故线圈内的磁感应电动势为：

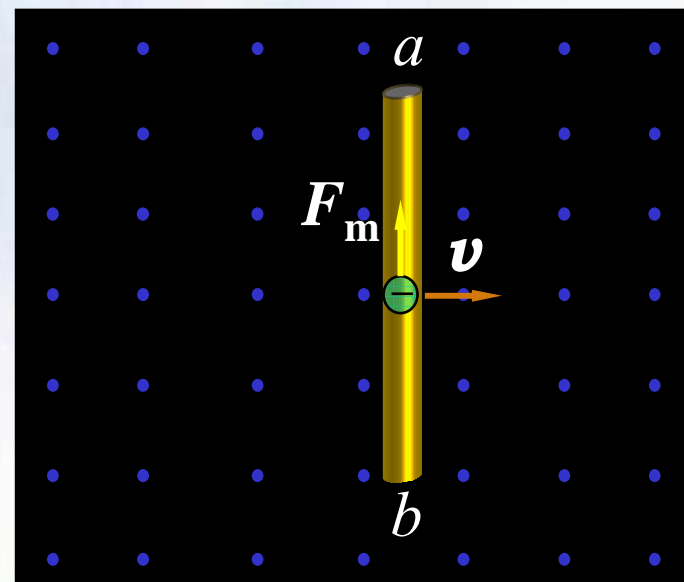
$$\begin{aligned}\varepsilon_i &= -\frac{d\Phi}{dt} = -\frac{\mu_0 l I_0}{2\pi} \ln\left(\frac{d+b}{d}\right) \frac{d}{dt} (\sin \omega t) \\ &= -\frac{\mu_0 l I_0 \omega}{2\pi} \ln\left(\frac{d+b}{d}\right) \cos \omega t\end{aligned}$$

§ 14-2 动生电动势

由磁通量变化产生的感应电动势，可分为磁感应强度变化引起，和导体在磁场中运动或回路的形状、位置的变动而引起。前者称感生电动势，后者称动生电动势。

导体棒在磁场中运动，棒内电子也随之运动，受洛仑兹力（如图）：

$$\vec{F}_m = -e\vec{v} \times \vec{B}$$



在此力作用下，电子向 a 端聚集，形成 $b \rightarrow a$ 方向的电场。当电子受此电场力作用与洛仑兹力作用达到平衡时，棒内电子不再发生宏观流动。

引入非静电场：

$$\vec{E}_K = \vec{F}_m / (-e) = \vec{v} \times \vec{B}$$

\mathbf{E}_K 的量值为单位正电荷所受的非静电力。导体在磁场中运动时，导体棒相当于电源，此电源中的非静电力为洛仑兹力，其非静电场强用 \mathbf{E}_K 表示。

由电动势定义，导体棒上的动生电动势为：

$$\varepsilon_i = \int_{-}^{+} \vec{E}_K \cdot d\vec{l} = \int_a^b (\vec{v} \times \vec{B}) \cdot d\vec{l} = Bvl$$

在一般情况下，磁场可不均匀、导体各线元速度可不同、磁场与运动速度可以不垂直等，因而动生电动势可表示为：

$$d\varepsilon_i = (\vec{v} \times \vec{B}) \cdot d\vec{l}$$

整个导体中的电动势：

$$\mathcal{E}_i = \int d\mathcal{E}_i = \int_L (\vec{v} \times \vec{B}) \cdot d\vec{l}$$

若导体构成回路，且整个回路均有运动，则：

$$\mathcal{E}_i = \oint_L (\vec{v} \times \vec{B}) \cdot d\vec{l}$$

二、洛仑兹力做功问题的讨论

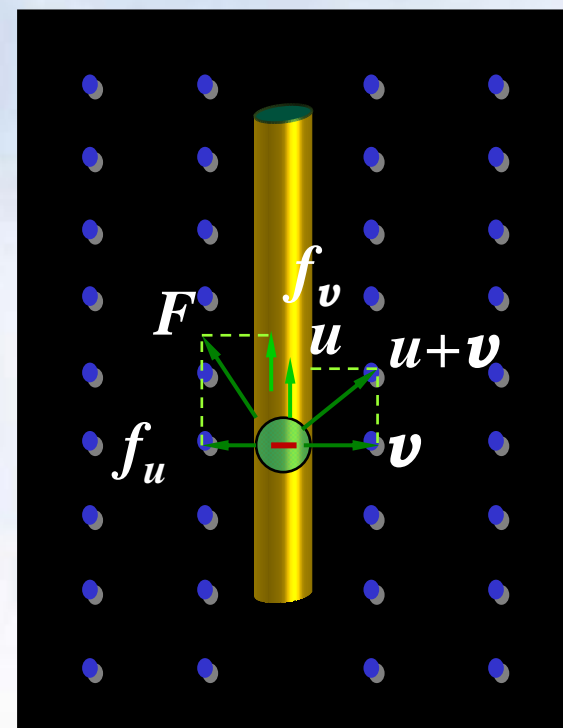
洛仑兹力恒与电荷运动方向垂直，因而不做功，而动生电动势是由于洛仑兹力移动单位正电荷产生的，似乎又做功，如何解释这矛盾？

如图，洛仑兹力使电子获得速度 \mathbf{u} ，因此实际电子的运动速度为 $(\mathbf{v} + \mathbf{u})$ ，所受的总洛仑兹力为：

$$\vec{F} = -e(\vec{v} + \vec{u}) \times \vec{B}$$

上式表明洛仑兹力与 $(\mathbf{v} + \mathbf{u})$ 垂直，对电子不做功。但其中的分力：

$$\vec{f}_v = -e(\vec{v} \times \vec{B})$$



f_v 对电子做正功，形成动生电动势。而另一分力：

$$\vec{f}_u = -e(\vec{u} \times \vec{B})$$

此力对电子做负功。由于 f_u 方向与棒的运动方向相反，阻碍导体运动，而要保持导体运动，必须提供外力，此外力正是另一个分力 f_v 的来源。

洛仑兹力总体上不做功，它只是通过一个分力做负功迫使外界提供能量，而通过另一个分力做正功，将部分外界提供的能量转化为电能。

三、动生电动势的计算

①按定义计算:

$$\mathcal{E}_i = \int_a^b (\vec{v} \times \vec{B}) \cdot d\vec{l}$$

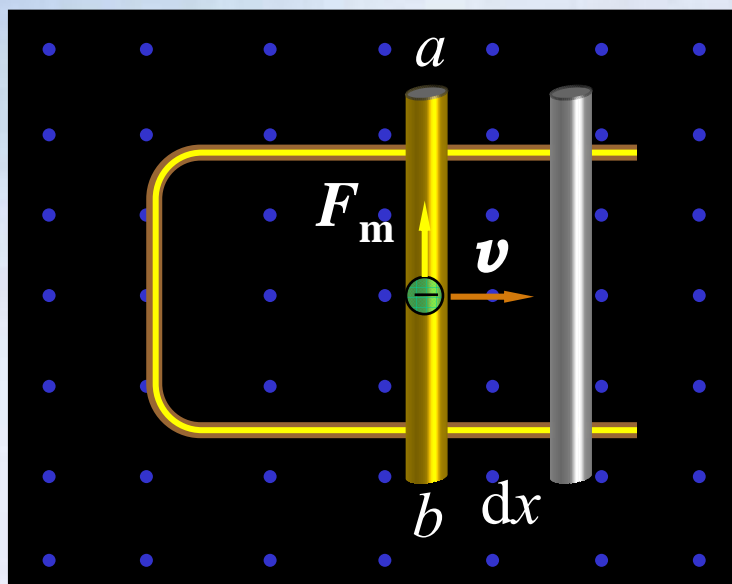
动生电动势的方向:

$$\mathcal{E}_i > 0 \quad a \rightarrow b, \quad \mathcal{E}_i < 0 \quad b \rightarrow a。$$

②按法拉第电磁感应定律计算:

$$\mathcal{E}_i = -\frac{d\Phi}{dt}$$

此式一般用于闭合回路，若对导体棒运动这样的不闭合回路，需做辅助线构成假想回路。



计算动生电动势的具体步骤

1. 首先，沿运动导线假定一个电动势的指向；
2. 按电动势的指向，在导线上任取一个线元矢量 $d\mathbf{l}$ ；
3. 根据线元 $d\mathbf{l}$ 的速度 \mathbf{v} 和该处的磁感强度 \mathbf{B} 以及两者之间小于 180° 的夹角 θ ，按矢积的定义，求 $(\mathbf{v} \times \mathbf{B})$ 。
 $(\mathbf{v} \times \mathbf{B})$ 仍是一个矢量，其大小为 $v B \sin \theta$ ；方向按右手螺旋法则确定；
4. 设矢量 $(\mathbf{v} \times \mathbf{B})$ 与 $d\mathbf{l}$ 之间小于 180° 的夹角为 β ，则按标积的定义， $(\mathbf{v} \times \mathbf{B}) \cdot d\mathbf{l}$ 乃是一个标量，其值即为线元 $d\mathbf{l}$ 上的动生电动势，即

$$d\varepsilon_i = (\mathbf{v} \times \mathbf{B}) \cdot d\mathbf{l} = (vB \sin \theta) dl \cos \beta \quad (a)$$

5. 最后，按电动势的指向对上式(a)进行积分，得整个运动导线上的动生电动势，即

$$\varepsilon_i = \int_a^b vB \sin \theta \cos \beta dl \quad (b)$$

6. 根据求出的动生电动势 ε_i 的正、负，判定其指向。若 $\varepsilon_i > 0$ ，其指向与事先假定的指向一致；若 $\varepsilon_i < 0$ ，其指向则与假定的指向相反。